

К расчету ширины раскрытия наклонных трещин третьего типа в составных железобетонных конструкциях

Наталья Витальевна КЛЮЕВА, доктор технических наук, профессор, e-mail: klynavit@yandex.ru
ФГБОУ ВПО «Юго-Западный государственный университет», 305040 Курск, ул. 50 лет Октября, 94

Игорь Анатольевич ЯКОВЕНКО, кандидат технических наук, e-mail: i2103@ukr.net

Н. В. УСЕНКО, инженер, e-mail:

Национальный авиационный университет, Украина, 03058 Киев, просп. Космонавта Комарова, 1

Аннотация. На основании анализа приопорных трещин и трещин, прилегающих к сосредоточенному грузу, рассмотрены расчетные схемы (в виде железобетонных составных элементов, вырезанных двумя поперечными сечениями, которые расположены на расстоянии, равном шагу хомутов) для определения деформаций удлинения бетона вдоль оси поперечных стержней в верхней и нижней зонах железобетонных составных конструкций в пролете «среза». Записаны разрешающие уравнения, замыкающиеся на рассмотренные расчетные схемы, что позволяет уточнить действительное напряженно-деформированное состояние данных конструкций в процессе нагружения. Предложен новый прием определения касательных напряжений.

Ключевые слова: наклонные трещины, деформации удлинения бетона, железобетонные составные конструкции, расчетные схемы, разрешающие уравнения.

CALCULATION THE WIDTH OF THIRD TYPE INCLINED CRACKS OF COMPOSITE REINFORCED CONCRETE CONSTRUCTIONS

Klueva N. V., e-mail: klynavit@yandex.ru, Southwestern State University, Kursk, Russia

Yakovenko I. A., e-mail: i2103@ukr.net, **Usenko N. V.**, e-mail:

National Aviation University, Kiev, Ukraine

Abstract. The article analysis cracks near the reliance, cracks adjacent to the concentrated load calculation schemes considered (as a concrete constituent elements cut by two transverse sections, spaced at equal clamps step) for determining the elongation deformations of concrete along the axis of the cross bars at the top and bottom of zone of concrete composite constructions in the shear "span". Resolving equations, that close to the considered design scheme, have written, that allows to specify the actual stress-strain state of reinforced concrete composite constructions in the loading process. It is proposed a new method of determining the shear stresses.

Keywords: inclined cracks, elongation deformations of concrete, reinforced concrete composite constructions, design models, resolving equations.

Определение ширины раскрытия трещин железобетонных конструкций остается одним из сложных вопросов [1–4]. Это связано с тем, что ее значение в экспериментальных исследованиях измеряют с помощью микроскопа, а при расчете используют достаточно грубый вычислительный аппарат, поэтому ожидать совпадения опытных и теоретических значений ширины раскрытия трещин не приходится.

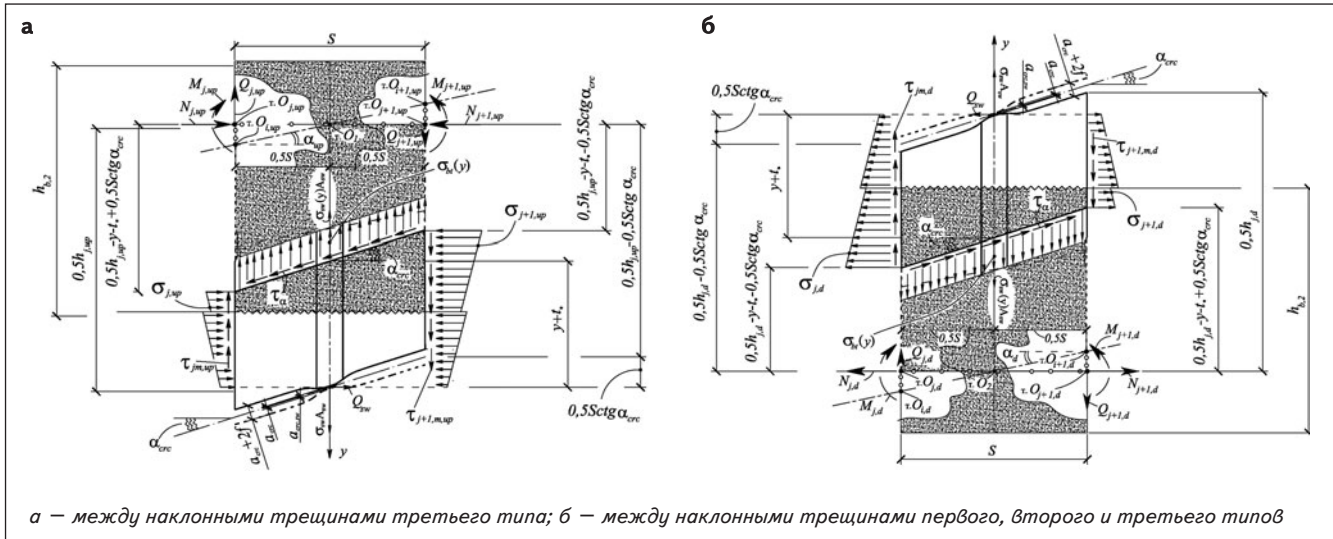
В работе [5] расчетные параметры для установления ширины раскрытия трещин приведены достаточно точно, однако образование трещин, которые появляются за первым уровнем, рассмотрено только в верхней арочной части расчетной модели. Продолжая эти исследования, авторы данной статьи выбрали случай, когда образование наклонных трещин возможно (в зависимости от геометрических и других параметров) и в нижней части расчетной модели, представленной в виде балки переменного сечения.

Для определения деформаций удлинения бетона, которые приводят к образованию следующей трещины третьего типа [6, 7], расположенной ниже первой обра-

зовавшейся трещины, в качестве расчетной схемы врезается элемент двумя поперечными сечениями, которые находятся на расстоянии, равном шагу хомутов S .

Рассмотрим расчетные схемы для вычисления деформаций растянутого бетона $\varepsilon_{bt}(y)$ между наклонными трещинами в железобетонных составных конструкциях: случай 1 – расчетная схема между наклонными трещинами третьего типа (*рисунок а*); случай 2 – расчетная схема между наклонными трещинами первого, второго или третьего типов (*рисунок б*).

Напряженно-деформированное состояние (НДС) в выбранных сечениях можно рассчитать упрощенно [6, 8], используя формулы сопротивления материалов для балки переменного сечения в том случае, когда угол наклона верхней грани мал. При его увеличении целесообразно использовать более точный подход, рассматривая в качестве расчетной схемы фигуру внецентренно растянутого клина (*рис. 2, 3 [7]*). Для удобства вычислений вместо полярной системы координат можно по известным формулам теории упругости и пластичности перейти к прямоугольной системе координат для определения



Расчетная схема к определению деформаций растянутого бетона в железобетонной составной конструкции

НДС в точках, расположенных в геометрических центрах O_1 и O_2 выбранных сечений (см. рисунок). Характер распределения НДС по рассматриваемым поперечным сечениям уточняется с помощью коэффициентов ω .

Анализ при опорных трещин и трещин, прилегающих к сосредоточенной нагрузке с выявлением веера на-клонных трещин около сосредоточенной нагрузки и ве-ера возможных наклонных трещин, прилегающих к опо-ре, позволяет выявить расчетную схему [1, 2] для опре-деления $\varepsilon_{bt}(y)$ в верхней и нижней зонах железобетон-ной конструкции (см. рисунок).

Главные растягивающие напряжения определяют из зависимости

$$\sigma_3 = \frac{\sigma_{bt}(y)}{\cos \alpha_{crc}} = \frac{E_b v_b}{1 - \mu_b^2} (\varepsilon_3 + \mu_b \varepsilon_1), \quad (1)$$

$$\text{где } \varepsilon_3 = \frac{\varepsilon_{bt}(y)}{\cos \alpha_{crc}}; \quad \mu_b \quad (2)$$

$$\varepsilon_1 = \frac{1}{E_b v_b} (\sigma_1 - \mu_b \sigma_1). \quad (3)$$

С другой стороны:

$$\sigma_1 = \sigma_x \cos^2 \alpha_{crc} + \sigma_y \sin^2 \alpha_{crc} + \tau_{xy} \sin 2\alpha_{crc}; \quad (4)$$

$$\sigma_3 = \frac{\sigma_{bt}(y)}{\cos \alpha_{crc}} = \sigma_x \sin^2 \alpha_{crc} + \sigma_y \cos^2 \alpha_{crc} - \tau_{xy} \sin 2\alpha_{crc}. \quad (5)$$

Используя формулу механики твердого деформируемого тела для рассматриваемой зоны, можно записать

$$\sigma_1 = \sigma_x \cos^2 \alpha_{crc} + \sigma_y \sin^2 \alpha_{crc} + \tau_{xy} \sin 2\alpha_{crc} = \quad (6)$$

$$= \frac{\sigma_{bl}(y)}{\cos \alpha_{crc}} \operatorname{tg}^2 \alpha_{crc} + \sigma_x (\cos^2 \alpha_{crc} - \sin^2 \alpha_{crc} \operatorname{tg}^2 \alpha_{crc}) +$$

$$+ \tau_z (\sin 2\alpha_{crc} \operatorname{tg}^2 \alpha_{crc} + \sin 2\alpha_{crc})$$

Из формулы (1) с учетом формулы (2) получим:

$$\sigma_3 = \frac{\sigma_{bt}(y)}{\cos \alpha} = \frac{E_b v_b}{1 - \mu_b^2} \left(\frac{\varepsilon_{bt}(y)}{\cos \alpha} + \mu_b \varepsilon_1 \right); \quad (7)$$

$$\sigma_{bt}(y) = \frac{E_b v_b}{1 - \mu_b^2} (\varepsilon_{bt}(y) + \mu_b \varepsilon_1 \cos \alpha_{crc}), \quad (8)$$

где $\sigma_{bi}(y)$ может быть как напряжением растяжения, так и сжатия (подставляется в формулу с обратным знаком).

В то же время $\varepsilon_{bt}(y)$ является деформацией только растяжения. Например, в условиях двухосного сжатия (с небольшим значением одного из сжимающих напряжений) $\sigma_{bt}(y)$ вычисляют с помощью коэффициента попечных деформаций μ_b . Анализ показывает, что применительно к рассматриваемой зоне, как правило, имеет место напряженное состояние «сжатие – растяжение».

Наклонные площадки, расположенные под углом α_{crc} , практически перпендикулярны главным деформациям удлинения бетона, по направлению которых и возникают наклонные трещины третьего типа. Применительно к принятой расчетной схеме (см. рисунок) угол α_{crc} усредняет направление таких площадок в пределах проекции наклонной трещины. Поэтому для практических расчетов значения сдвигающих напряжений τ_α , лежащих на площадках, которые приближаются к главным площадкам, могут быть приняты равными нулю.

Рассматривая $\sigma_{bt}(y)$ (а также напряжения в середине наклонной площадки σ_x , σ_y и τ_{xy}), применительно к рассматриваемой расчетной схеме коэффициент наполнения этих эпюр ω может быть принят равным единице как среднее значение таких эпюр, приближающихся к трапециевидным.

Составляя уравнения равновесия проекций всех сил на ось $O_i y$ ($\sum Y = 0$), запишем:

$$\sigma_{sw} A_{sw} - \sigma_{sw}(y) A_{sw} - \sigma_{bt}(y) A_{bt,w} - \\ - \tau_{i,100} b(y + t_* - 0,5 \text{Stg} \alpha_{crc}) + \tau_{i+1,100} b(y + t_* + 0,5 \text{Stg} \alpha_{crc}) = 0. \quad (9)$$

Подставляя формулу (8) в уравнение (9) и усредняя касательные напряжения в сечениях, расположенных на расстояниях $0,5S$ слева и справа от хомута (см. рисунок), имеем

$$\begin{aligned} \sigma_{sw} A_{sw} - \sigma_{sw}(y) A_{sw} - \frac{E_b v_b S b \varepsilon_{bt}(y)}{(1-\mu_b^2) \cos \alpha_{crc}} + \frac{E_b v_b S b}{(1-\mu_b^2)} \mu_b \varepsilon_1 - \\ - \frac{Q_{j,up} y}{h_{j,up}} - \frac{Q_{j,up}}{h_{j,up}} (t_* - 0,5 S \operatorname{tg} \alpha_{crc}) + \frac{Q_{j+1,up} y}{h_{j+1,up}} + \\ + \frac{Q_{j+1,up}}{h_{j+1,up}} (t_* - 0,5 S \operatorname{tg} \alpha_{crc}) = 0, \end{aligned} \quad (10)$$

где t_* — размер местной зоны, прилегающей к трещине.

Обозначим:

$$\frac{Q_{j+1,up}}{h_{j+1,up}} - \frac{Q_{j,up}}{h_{j,up}} = D_1; \quad (11)$$

$$\left(\frac{Q_{j+1,up}}{h_{j+1,up}} - \frac{Q_{j,up}}{h_{j,up}} \right) t_* + \left(\frac{Q_{j+1,up}}{h_{j+1,up}} + \frac{Q_{j,up}}{h_{j,up}} \right) 0,5 S \operatorname{tg} \alpha_{crc} = D_2. \quad (12)$$

Тогда

$$\begin{aligned} \sigma_{sw} A_{sw} - \sigma_{sw}(y) A_{sw} - \frac{S b}{(1-\mu_b^2) \cos \alpha_{crc}} \varepsilon_{bt}(y) + \\ + \frac{\mu_b}{(1-\mu_b^2)} E_b v_b S b \varepsilon_1 + D_1 y + D_2 = 0. \end{aligned} \quad (13)$$

Располагая формулами (1) – (7), получим

$$\begin{aligned} \varepsilon_1 = \frac{1}{E_b v_b} \left[\frac{\sigma_{bt}(y)}{\cos \alpha_{crc}} \operatorname{tg}^2 \alpha_{crc} + \sigma_x (\cos^2 \alpha_{crc} - \sin^2 \alpha_{crc} \operatorname{tg}^2 \alpha_{crc}) + \right. \\ \left. + \tau_{xy} (\sin 2\alpha_{crc} \operatorname{tg}^2 \alpha_{crc} + \sin 2\alpha_{crc}) - \mu_b \frac{\sigma_{bt}(y)}{\cos \alpha_{crc}} \right]. \end{aligned} \quad (14)$$

Перед тем как выражение (14) подставить в формулу (13) необходимо отыскать значения $\sigma_x(y)$ и τ_{xy} , от которых зависит ε_1 . Как уже было отмечено, σ_x и τ_{xy} усредняются в середине наклонной площадки применительно к расчетной схеме, приведенной на рисунке б.

Тогда

$$\sigma_x(y) = \frac{M_{j,up} + M_{j+1,up}}{2I_{m,up}} (0,5 h_{m,up} - y - t_*) + \frac{N_{j,up} + N_{j+1,up}}{2b h_{m,up}}, \quad (15)$$

где $I_{m,up} = \frac{bh_{m,up}^3}{12}$; $N_{j,up}$ и $M_{j,up}$ — осевая сила и внутренний момент в каждом составляющем стержне с учетом сдвигающих усилий в шве.

Высоту $h_{m,up}$ в первом приближении находят на основании геометрических характеристик при опорного блока. При этом положение геометрической оси при опорной арки над наклонной трещиной определяют из следующих соображений [6].

Положение точки K (рис. 1 [6]) вычисляют по параметру $h_k = (h - 2a_s)/2$. Высота расположения точки K над нижней гранью железобетонной конструкции будет равна $h_k + 2a_s$. Расположение точки L (рис. 2 [6]) устанавливают по размерам второго основания клина, тогда как размеры первого основания клина принимают равными x_b из решения задачи прочности для веера трещин B_1 или близко к $0,2h_0$. Угол наклона клина — около 15° .

Обозначим:

$$\frac{M_{j,up} + M_{j+1,up}}{2I_{m,up}} = D_3; \quad (16)$$

$$\frac{M_{j,up} + M_{j+1,up}}{2I_{m,up}} (0,5 h_{m,up} - t_*) + \frac{N_{j,up} + N_{j+1,up}}{2b h_{m,up}} = D_4. \quad (17)$$

Тогда:

$$\sigma_x(y) = -D_3 y + D_4; \quad (18)$$

$$\tau_{xy,m,up} = \frac{Q_{j,up} + Q_{j+1,up}}{2b h_{m,up}} = D_5. \quad (19)$$

Следует отметить, что для расчетного случая 2 (см. рисунок б) в формулах (10)–(19) вместо индекса up необходимо использовать индекс d .

Примем:

$$\frac{\operatorname{tg} \alpha_{crc} - \mu_b}{\cos \alpha_{crc} E_b v_b} = D_6; \quad (20)$$

$$\frac{\cos^2 \alpha_{crc} - \sin^2 \alpha_{crc} \operatorname{tg}^2 \alpha_{crc}}{E_b v_b} = D_7; \quad (21)$$

$$\frac{\sin 2\alpha_{crc} \operatorname{tg}^2 \alpha_{crc} + \sin 2\alpha_{crc}}{E_b v_b} = D_8. \quad (22)$$

С учетом изложенного подставим формулы (18) – (22) в уравнение (14):

$$\varepsilon_1 = \sigma_{bt}(y) D_6 - D_3 D_7 y + D_4 D_7 + D_5 D_8. \quad (23)$$

Используем формулу (9) в уравнении (23):

$$\begin{aligned} \varepsilon_1 = \frac{E_b v_b \varepsilon_{bt}(y)}{1 - \mu_b^2} D_6 + \frac{\mu_b}{1 - \mu_b^2} E_b v_b \varepsilon_1 \cos \alpha_{crc} D_6 - \\ - D_3 D_7 y + D_4 D_7 + D_5 D_8; \end{aligned} \quad (24)$$

$$\begin{aligned} \varepsilon_1 \left(1 - \frac{\mu_b}{1 - \mu_b^2} E_b v_b \cos \alpha_{crc} D_6 \right) = \frac{E_b v_b}{1 - \mu_b^2} D_6 \varepsilon_{bt}(y) - \\ - D_3 D_7 y + D_4 D_7 + D_5 D_8. \end{aligned} \quad (25)$$

Обозначим:

$$1 - \frac{\mu_b}{1 - \mu_b^2} E_b v_b \cos \alpha_{crc} D_6 = D_9; \quad (26)$$

$$\frac{E_b v_b}{1 - \mu_b^2} \frac{D_6}{D_9} = D_{10}; \quad (27)$$

$$D_3 D_7 \frac{1}{D_9} = D_{11}; \quad (28)$$

$$(D_4 D_7 + D_5 D_8) \frac{1}{D_9} = D_{12}. \quad (29)$$

Подставим выражения (26) – (29) в формулу (25)

$$\varepsilon_1 = D_{10} \varepsilon_{bt}(y) - D_{11} y + D_{12}. \quad (30)$$

Приведем уравнение (30) в формуле (15)

$$\begin{aligned} \sigma_{sw} A_{sw} - \sigma_{sw}(y) A_{sw} - \frac{E_b v_b}{1 - \mu_b^2} \frac{S b}{\cos \alpha_{crc}} \varepsilon_{bt}(y) + \\ + \frac{\mu_b}{1 - \mu_b^2} E_b v_b S b (D_{10} \varepsilon_{bt}(y) - D_{11} y + D_{12}) + D_1 y + D_2 = 0. \end{aligned} \quad (31)$$

Примем:

$$\frac{E_b v_b}{1 - \mu_b^2} \frac{S b}{\cos \alpha_{crc}} - \frac{\mu_b}{1 - \mu_b^2} E_b v_b S b D_{10} = D_{13}; \quad (32)$$

$$D_{11} - \frac{\mu_b}{1 - \mu_b^2} E_b v_b S b D_{11} = D_{14}; \quad (33)$$

$$\frac{\mu_b}{1 - \mu_b^2} E_b v_b S b D_{12} + D_2 = D_{15}. \quad (34)$$

Введем выражения (32) –(34) в уравнение (31)

$$\begin{aligned}\varepsilon_{bt}(y) &= \sigma_{sw} A_{sw} \frac{1}{D_{13}} - \sigma_{sw}(y) A_{sw} \frac{1}{D_{13}} + \frac{D_{14}}{D_{13}} y + \frac{D_{15}}{D_{13}} = \\ &= \varepsilon_{sw} E_{sw} A_{sw} \frac{1}{D_{13}} - \varepsilon_{sw}(y) E_{sw} A_{sw} \frac{1}{D_{13}} + \frac{D_{14}}{D_{13}} y + \frac{D_{15}}{D_{13}}.\end{aligned}\quad (35)$$

Продолжая эти исследования, последовательно переходим к определению других параметров НДС железобетонных составных конструкций при раскрытии наклонных трещин.

Вывод

Предложены новые расчетные схемы для вычисления

ЛИТЕРАТУРА

- Бондаренко В. М., Колчунов В. И. Расчетные модели силового сопротивления железобетона : монография. М. : ACB, 2004. 472 с.
- Голышев А. Б., Колчунов В. И. Сопротивление железобетона. Киев : Основа, 2009. 432 с.
- Колчунов В. И., Яковенко И. А., Клюева Н. В. Метод физических моделей сопротивления железобетона // Промышленное и гражданское строительство. 2013. № 12. С. 51–56.
- Колчунов В. И., Яковенко И. А. Разработка двухконсольного элемента механики разрушения для расчета ширины раскрытия трещин железобетонных конструкций // Вестник гражданских инженеров. 2009. № 4 (21). С. 160–163.
- К определению деформаций растянутого бетона для расчета трещиностойкости железобетонных конструкций по наклонным сечениям / Х. З. Баширов, А. А. Дородных,

REFERENCES

- Bondarenko V. M., Kolchunov V. I. *Raschetnye modeli silovogo soprotivleniya zhelezobetona*. Moscow, ASV Publ., 2004. 472 p. (In Russian).
- Golyshev A. B., Kolchunov V. I. *Soprotivlenie zhelezobetona*. Kiev, Osnova, 2009. 432 p. (In Russian).
- Kolchunov V. I., Yakovenko I. A., Klyueva N. V. Metod fizicheskikh modeley soprotivleniya zhelezobetona. *Promyshlennoe i grazhdanskoe stroitel'stvo*, 2013, no. 12, pp. 51–56. (In Russian).
- Kolchunov V. I., Yakovenko I. A. Razrabotka dvukhkonsol'nogo elementa mehaniki razrusheniya dlya rascheta shiriny raskrytiya freshchin zhelezobetonnykh konstruktsiy. *Vestnik grazhdanskikh inzhenerov*, 2009, no. 4 (21), pp. 160–163. (In Russian).
- Bashirov Kh. Z., Dorodnykh A. A., Kolchunov V. I., Yakovenko I. A., Usenko N. V. K opredeleniyu deformatsiy rastyanutogo betona dlya rascheta freshchinostoykosti

деформаций растянутого бетона между наклонными трещинами третьего типа $\varepsilon_{bt}(y)$ в железобетонных составных конструкциях. Их анализ показывает, что деформации на участках, примыкающих к трещинам, начинают уменьшаться и даже меняют знак, деформации же в середине участка между трещинами продолжают увеличиваться до тех пор, пока в этом месте не появляется новая трещина.

Получены разрешающие уравнения, позволяющие сохранить физический смысл и инженерную обозримость вычисляемых параметров напряженно-деформированного состояния железобетонных составных конструкций и исключить трудоемкую алгебраизацию формул, как правило, приводящую к множеству ошибок.

Вл. И. Колчунов, И. А. Яковенко, Н. В. Усенко // Строительная механика и расчет сооружений. 2012. № 6(245). С. 2–7.

- Баширов Х. З., Дородных А. А. Определение параметров напряженно-деформированного состояния железобетонных составных конструкций при раскрытии наклонных трещин третьего типа // Строительство и реконструкция. 2012. № 4. С. 17–24.
- Усенко Н. В., Яковенко И. А., Колчунов В. И. Образование наклонных трещин третьего типа в железобетонных составных конструкциях // Будівництво України. 2013. Вип. 2. С. 24–28.
- Сопротивление растянутого бетона между трещинами составных железобетонных конструкций с учетом новых эффектов / Х. З. Баширов, Вл. И. Колчунов, И. А. Яковенко, Г. К. Биджосян // Строительство и реконструкция. 2011. № 6. С. 3–11.

zhelezobetonnykh konstruktsiy po naklonnym secheniyam. *Stroitel'naya mekhanika i raschet sooruzheniy*, 2012, no. 6 (245), pp. 2–7. (In Russian).

- Bashirov Kh. Z., Dorodnykh A. A. Opredelenie parametrov napryazheno-deformirovannogo sostoyaniya zhelezobetonnykh sostavnykh konstruktsiy pri raskrytii naklonnykh freshchin tret'ego tipa. *Stroitel'stvo i rekonstruktsiya*, 2012, no. 4, pp. 17–24. (In Russian).
- Usenko N. V., Yakovenko I. A., Kolchunov V. I. Obrazovanie naklonnykh freshchin tret'ego tipa v zhelezobetonnykh sostavnykh konstruktsiyakh. *Budivnitsstvo Ukrayini*, 2013, Vip. 2, pp. 24–28. (In Russian).
- Bashirov Kh. Z., Kolchunov V. I., Yakovenko I. A., Bidzhosyan G. K. Soprotivlenie rastyanutogo betona mezhdu freshchinami sostavnykh zhelezobetonnykh konstruktsiy s uchetom novykh effektov. *Stroitel'stvo i rekonstruktsiya*, 2011, no. 6, pp. 3–11. (In Russian). ■